

УДК 537.611.2 + 537.622.5

**К ТЕОРИИ ОБМЕННОГО ПОГЛОЩЕНИЯ  
И УСИЛЕНИЯ СПИНОВЫХ ВОЛН  
ЭЛЕКТРОНАМИ ПРОВОДИМОСТИ  
В АНТИФЕРРОМАГНИТНЫХ ПОЛУПРОВОДНИКАХ**

*H. И. Ползикова, A. O. Раевский*

Получена связанный система уравнений прецессии и кинетического уравнения для электронов, позволяющая описывать  $s-d$ -обменное взаимодействие в антиферромагнитных полупроводниках. Из решения этой системы получено выражение для коэффициента электронного поглощения спиновых волн, справедливое при любом значении параметра  $ql$ , где  $q$  — волновое число спиновой волны,  $a$  — длина свободного пробега электрона. Коэффициент поглощения вычислен для двух возможных типов колебаний переменной составляющей суммарного магнитного момента подрешеток антиферромагнитного полупроводника: продольного и поперечного (по отношению к направлению внешнего магнитного поля). Рассмотрены два типа магнитной анизотропии: «легкая ось» и «легкая плоскость». Наложение постоянного электрического поля позволяет обратить знак коэффициента электронного поглощения и за счет черенковской генерации магнитных компенсировать магнитные потери. Показано, что наибольшее усиление спиновых волн достигается в антиферромагнитном полупроводнике с анизотропией «легкая плоскость» в случае  $ql \geq 1$  при взаимодействии электронов с поперечным типом колебаний.

В магнитных полупроводниках (МП) существует сильное (нерелятивистское) взаимодействие спиновых волн (СВ) со свободными электронами (дырками) —  $s-d$ -обменное взаимодействие [1]. Это могло бы позволить использовать МП для усиления СВ дрейфом электронов. Однако в МП с ферромагнитным упорядочением (ФМП) сильное электрон-магнитное взаимодействие приводит к большому расщеплению спиновых подзон  $\Phi_0$ , что ухудшает условия поглощения и существенно затрудняет усиление СВ. Дело в том, что одномагнитное бесстолкновительное поглощение имеет порог по волновому числу СВ  $q \geq \Phi_0/\hbar v$  ( $v$  — средняя скорость электронов,  $\hbar$  — постоянная Планка). Для ФМП  $HgCr_2Se_4$ ,  $CdCr_2Se_4$ , в которых хорошо возбуждаются СВ [2, 3]  $\Phi_0 \sim 0.5 - 1$  эВ. При этом порог не достигается даже при очень больших  $q \geq 10^6$  см $^{-1}$ . В допороговой области поглощение определяется столкновениями электронов с термостатом [4-6]. При этом величина поглощения оказывается сравнительно небольшой. Соответственно при наложении постоянного дрейфового поля  $E_0$  усиление также получается малым, что не дает возможности компенсировать магнитные потери. Для активации пороговых процессов можно использовать увеличение  $v$  разогревом электронов в сильном электрическом поле [7, 8]. Но необходимые для этого поля оказываются слишком большими  $\sim 10^4$  В/см.

В антиферромагнитных полупроводниках (АФП) порог одномагнитных процессов снижается за счет уменьшения расщепления спиновых подзон [9, 10]. При полной идентичности подрешеток и слабых внешних магнитных полях это расщепление может оказаться либо тождественно равным нулю, либо быть малым и зависеть от внешнего магнитного поля  $H_0$ . Это поле считается слабым в том смысле, что  $H_0 < H_c$ , где  $H_c$  — поле опрокидывания подрешеток [11]. В результате этого процессы испускания

и поглощения одного магнона электроном, сопровождающиеся изменением проекции электронного спина, становятся разрешенными. В этих процессах участвуют магноны с проекцией спина  $\pm 1$ , что соответствует колебаниям магнитного момента подрешеток  $m_{1,2}$ , при которых  $m^z = m_1^z + m_2^z \neq 0$ , а  $m_s = m_{1s} + m_{2s} = 0$  (ось  $z$  всегда направлена вдоль внешнего магнитного поля,  $m^z = m_z \pm im_y$ ). Такие колебания мы будем называть «ферромагнитными» ( $\Phi$ ). Кроме того, в АФП имеется дополнительная «антиферромагнитная» (АФ) ветвь колебаний с  $m^z = 0$ ,  $m_s \neq 0$ . Этим колебаниям соответствуют магноны с проекцией спина, равной 0 [12, 13]. Процессы испускания и поглощения такого магнона электроном являются внутриподзонными и практически беспороговыми при любом расщеплении спиновых подзон.

В [9] были получены коэффициенты электронного поглощения колебаний типа  $\Phi$  и АФ в бесстолкновительном приближении  $ql \gg 1$  ( $l$  — длина свободного пробега электрона). Однако в АФП типа MnTe [14] с подвижностью  $b \lesssim 10^3$  см<sup>2</sup>/В·с и концентрацией носителей тока  $n \sim 10^{18}$  см<sup>-3</sup> величина  $l$  оказывается  $\sim 10^{-5} \div 10^{-6}$  см и бесстолкновительный режим будет осуществляться только при  $q \geqslant 10^6 \div 10^7$  см<sup>-1</sup>, что нереально. Противоположный предел сильных столкновений более реалистичен. Он рассматривался в [10] в гидродинамическом приближении. Поскольку, однако, в [10] не учитывалось  $s-d$ -обменное взаимодействие поперечных составляющих момента решетки  $m^z$  с электронами, то выводы [10] справедливы только для колебаний типа АФ. В настоящей работе развивается теория, позволяющая описывать  $s-d$ -обменное взаимодействие электронов (дырок) в АФП с СВ при учете столкновений электронов с термостатом и справедливая при любых значениях параметра  $ql$ . Показано, что наибольшее усиление СВ может быть достигнуто в АФП с анизотропией «легкая плоскость» (ЛП) для колебаний типа  $\Phi$  в промежуточном режиме  $ql \geqslant 1$ .

2. Рассмотрим когерентную СВ, распространяющуюся вдоль оси  $Oz$  в безграничном АФП, находящемся в постоянных внешних электрическом  $E_0 = (0, 0, E_0)$  и магнитном  $H_0 = (0, 0, -H_0)$  полях. В линейном по амплитуде СВ приближении все переменные величины зависят от координат  $r$  и времени  $t$ , как  $\exp[i(qz - \omega t)]$ , где  $\omega$  — частота СВ. Взаимодействие СВ с электронами описывается в рамках  $s-d$ -модели Вонсовского [1]. Методом составления уравнений движения для последовательных функций распределения получена связанная система уравнений: уравнения прецессии магнитного момента подрешеток в эффективном магнитном поле и «квазиклассического» ( $\hbar q \ll \bar{p}$ ) кинетического уравнения для электронов в слабых ( $eE_0/\bar{p}\omega \ll 1$ ,  $eH_0/m^*c\omega \ll 1$ ) постоянных электрическом  $E_0$  и магнитном  $H_0$  полях [6, 15]. Здесь  $\bar{p}$ ,  $m^*$ ,  $e$  — средний импульс, эффективная масса и заряд электрона;  $c$  — скорость света.

Эффективное поле содержит вклад  $s-d$ -обменного взаимодействия. Этот вклад одинаков для всех подрешеток ( $j$  — номер подрешетки)

$$H_{s-dj} = \frac{\mathcal{J}}{g\mu_0} \frac{1}{V} \left\{ \sum_p [f_{\uparrow\downarrow}(p) + f_{\downarrow\uparrow}(p)], -i \sum_p [f_{\uparrow\downarrow}(p) - f_{\downarrow\uparrow}(p)], \right. \\ \left. \sum_p [f_{\uparrow\uparrow}(p) - f_{\downarrow\downarrow}(p)] \right\},$$

где  $\mathcal{J}$  — интеграл  $s-d$ -обмена,  $g \simeq 2$ ,  $\mu_0 = e\hbar/2m_0c$  — магнетон Бора,  $V$  — объем,  $m_0$  — масса свободного электрона,  $f_{\sigma\sigma'}(p) = f_{\sigma\sigma'}(p, r, t)$  — функция распределения электронов,  $p$  — квазимпульс электрона,  $\sigma = 1/2$  ( $\uparrow$ ),  $-1/2$  ( $\downarrow$ ) — спиновый индекс. Кинетические уравнения для функций  $f_{\sigma\sigma'}(p)$  получаются такого же вида, как в [6, 15], в которых только следует заменить намагниченность ФМП на суммарную намагниченность подрешеток АФП

$$M(r, t) = \sum_j M_j(r, t) = \sum_j [M_{0j} + m_j(r, t)],$$

где  $\mathbf{M}_{0j}$ ,  $m_j(\mathbf{r}, t)$  — статические и колебательные намагнченности  $j$ -й подрешетки. Аналогично изменяется и величина спинового расщепления подзон

$$\Phi = \frac{\mathcal{J}}{g\mu_0} \sum_j M_{0jz}. \quad (1)$$

Далее находится дисперсионное уравнение для СВ, которое имеет два независимых решения: для  $\Phi$  и АФ типов колебаний.

Рассмотрим колебание типа  $\Phi$ . В слабых внешних магнитных полях  $\Phi \ll \epsilon_F$  ( $\epsilon_F$  — энергия Ферми электронов) коэффициент  $s-d$ -обменного поглощения СВ для  $i$ -й ветви может быть представлен в виде

$$\alpha_i^\Phi = -\omega_0; \frac{1}{2M_0H_E} \operatorname{Im} \frac{\Lambda^+ + \Lambda^-}{2} \left( \frac{\mathcal{J}M_0}{g\mu_0} \right)^2 \quad (2)$$

где  $\Lambda^\pm = \mu^\pm/m^\pm$ ;  $\mu^+ = (g\mu_0/V) \sum_{\mathbf{p}} f_{\uparrow\downarrow}(\mathbf{p})$ ,  $\mu^- = (g\mu_0/V) \sum_{\mathbf{p}} f_{\downarrow\uparrow}(\mathbf{p})$  — циркулярные составляющие намагнченности электронного газа;  $M_0 = |M_{01}| = |M_{02}|$ ;  $H_E \gg H_A$ ;  $H_E$ ,  $H_A$  — обменное поле и поле анизотропии;  $\Lambda^+ - \Lambda^- \ll \Lambda^+$ ,  $\Lambda^-$ ;  $\omega_0$  — частота  $i$ -й ветви колебаний  $\Phi$  типа в отсутствие электронов [10]. Кинетические уравнения для  $f_{\uparrow\downarrow}(\mathbf{p})$  и  $f_{\downarrow\uparrow}(\mathbf{p})$  решаются с учетом квазиупругого рассеяния электронов на тепловых акустических фонах и (или) экранированных примесях. В этих случаях, как показано в [16], кинетические уравнения допускают точные решения. Вычисляя  $\Lambda^\pm$  для вырожденной статистики и подставляя их в (2), получаем ( $p_F$  — фермиевский импульс электронов)

$$\alpha_i^\Phi = -A_i \frac{\hbar}{2} \left[ \frac{\psi(x^+, K^+)}{\Phi + \hbar\tilde{\omega}_i} + \frac{\psi(x^-, K^-)}{\Phi - \hbar\tilde{\omega}_i} \right], \quad (3)$$

$$A_i = \pi \left( \frac{\mathcal{J}M_0}{g\mu_0} \right)^2 \frac{1}{(2\pi\hbar)^3} \frac{\omega_0 \tilde{\omega}_i m^* p_F}{M_0 H_E}, \quad (4)$$

$$\begin{aligned} \psi(x, K) = & \frac{K}{x^2} \left[ \frac{x}{K} \left( \operatorname{arc tg} \frac{x+1}{K} + \operatorname{arc tg} \frac{x-1}{K} \right) + \right. \\ & \left. + \frac{1}{8} \frac{\ln \frac{(x-1)^2 + K^2}{(x+1)^2 + K^2}}{1 - \frac{K}{x} \left( \operatorname{arc tg} \frac{x+1}{K} + \operatorname{arc tg} \frac{x-1}{K} \right)} \right], \end{aligned} \quad (5)$$

$$K^\pm = \frac{\hbar}{\tau(p_F)(\Phi \pm \hbar\tilde{\omega}_i)}, \quad x^\pm = \frac{\hbar q p_F}{m^*(\Phi \pm \hbar\tilde{\omega}_i)}, \quad \tilde{\omega}_i = \omega_0 \left( 1 - \frac{v_d}{v_\phi} \right),$$

( $p_F$ ) — время между двумя столкновениями, приводящими к изменению проекции спина электрона [15], которое в принятых приближениях совпадает с временем релаксации импульса,  $v_d = bE_0$  — дрейфовая скорость электронов,  $v_\phi = \omega/q$  — фазовая скорость СВ. На рис. 1 приведен график функции  $\psi(x, K)$  для различных значений параметра столкновений  $K$ . Случай  $K=0$ , соответствующий отсутствию столкновений, совпадает с результатами работы [9]. Также как и в ФМП, поглощение носит пороговый характер, однако здесь порог поглощения  $x=1$  достигается уже при малых  $q$ . Это связано с тем, что в АФП расщепление подзон (1) зависит от  $\tau$  внешнего магнитного поля

$$\Phi(H_0) \simeq \frac{\mathcal{J}M_0}{g\mu_0} \frac{H_0}{2H_E} \quad (6)$$

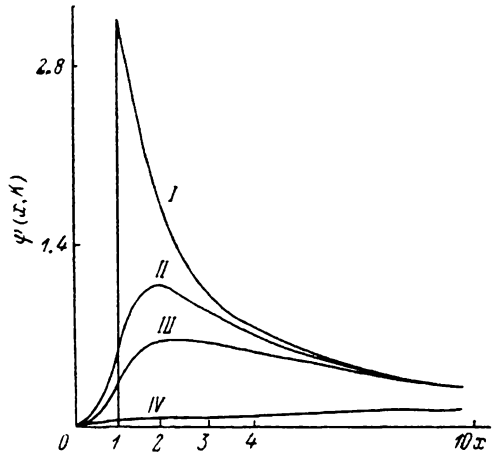
и может быть сделано сколь угодно малым. Более того, в АФП с анизотропией «легкая ось» (ЛО) при  $H_0 \parallel \mathbf{n}$  и  $H_0 < H_c$  ( $\mathbf{n}$  — единичный вектор, направленный вдоль оси анизотропии) расщепление спиновых под-

зон вообще равно 0, и, следовательно, порог практически отсутствует. По той же причине и параметр столкновений  $K$  в АФП оказывается гораздо больше, чем в ФМП. Из рис. 1 видно, что наибольшее поглощение будет наблюдаться в области  $x \geq 1$  при  $K \leq 1$ , т. е. при  $ql \geq 1$ . В этой же области при  $v_d > v_\phi$  будет наблюдаться и наибольшее усиление СВ. Поскольку дрейфовая скорость в МП носителей тока в МП ограничена значениями  $v_d \leq 10^5$  см/с (из-за невысокой подвижности), то это накладывает ограничения на фазовую скорость усиливаемых СВ и в конечном счете на их частоту.

Рассмотрим теперь колебания типа АФ. В этом случае для коэффициента электронного поглощения СВ можно записать

Рис. 1. Поглощение колебаний «ферромагнитного» типа.

График функции  $\Phi(x, K)$  при различных значениях параметра столкновений  $K$ : I — 0, II —  $5 \cdot 10^{-1}$ , III — 1, IV — 5. Максимальное значение, соответствующее бесстолкновительному поглощению,  $\Phi(1, 0) = \pi$ .



$$\alpha_i^{A\Phi} = -\omega_{0i} \frac{1}{2M_0 H_E} \operatorname{Im} \Lambda_s \left( \frac{\mathcal{J} M_0}{g \mu_0} \right)^2,$$

где  $\Lambda_s = \mu_s/m_s$ ,  $\mu_s = (g\mu_0/V) \sum_p [\delta f_{\uparrow\uparrow}(p) - \delta f_{\downarrow\downarrow}(p)]$ ,  $\delta f_{\sigma\sigma}(p)$  — переменная добавка к функции распределения электронов  $f_{\sigma\sigma}(p) = f_{\sigma\sigma}^0(p) + \delta f_{\sigma\sigma}(p)$ ,  $f_{\sigma\sigma}^0(p)$  — статическая часть функции распределения. В линейном приближении по амплитуде СВ  $\delta f_{\sigma\sigma}(p)$  удовлетворяет кинетическому уравнению

$$-i \left( \omega - qv_x + \frac{i}{\tau} \right) \delta f_{\sigma\sigma}(p) = - \left\{ e\delta E + \frac{e}{c} [v \times \delta B] + \frac{\mathcal{J}}{g\mu_0} \nabla m_z \right\} \frac{\partial f_{\sigma\sigma}^0(p)}{\partial p}, \quad (7)$$

где  $f_{\sigma\sigma}^0(p) = f_{\sigma\sigma}^T(p)$  — равновесная функция распределения в слабом постоянном электрическом поле  $E_0$ ;  $\tau$  — время релаксации импульса;  $\delta E$ ,  $\delta B$  — переменное электромагнитное поле, сопровождающее колебания намагниченности и удовлетворяющее уравнениям Максвелла

$$\operatorname{div} \delta E = \frac{4\pi e}{x} \sum_{p, \sigma} \delta f_{\sigma\sigma}(p); \quad \operatorname{div} \delta B = 0, \quad (8)$$

$$\operatorname{rot} \delta E = -\frac{1}{c} \frac{\partial \delta B}{\partial t}, \quad (9)$$

где  $x$  — диэлектрическая проницаемость АФП. Из (7) — (9) получаем

$$\Lambda_s = i \left( \frac{\mathcal{J} M_0}{g \mu_0} \right)^2 \frac{q}{2M_0^2} \frac{iq(L_\uparrow + L_\downarrow) + \frac{16\pi e^2}{x} L_\uparrow L_\downarrow}{iq + \frac{4\pi e^2}{x} (L_\uparrow + L_\downarrow)}, \quad (10)$$

$$L_\sigma = \frac{i}{V} \sum_p \frac{\left( \frac{p_s}{m^*} - v_d \right) \frac{\partial f_{\sigma\sigma}^T}{\partial \epsilon}}{\omega - \frac{p_s q}{m^*} + \frac{i}{\tau}} \quad \epsilon = \frac{(p - m^* v_d)^2}{2m^*}. \quad (11)$$

Для вырожденной статистики электронов и при условии  $\Phi \ll \epsilon_F$  коэффициент поглощения, получающийся из (7) — (11), представляется в виде

$$\alpha_i^{A\Phi} = -A_i \frac{1}{\omega_{0i}} f(x, K), \quad (12)$$

$$f(x, K) = \frac{K}{x} \left\{ \frac{1}{2} \ln \frac{(x-1)^2 + K^2}{(x+1)^2 + K^2} + \frac{1}{K} \left[ \arctg \frac{x+1}{K} + \arctg \frac{x-1}{K} \right] \right\}, \quad (13)$$

$$x = \frac{p_F q}{m^* \omega_0}, \quad K = (\omega_0 \tau)^{-1}.$$

График функции  $f(x, K)$  приведен на рис. 2 для больших значений аргумента, поскольку при  $v_d \leq 10^5$  см/с, что необходимо для усиления,  $x = v_F/v_\phi \gg 1$  ( $v_F = p_F/m^*$  — фермиевская скорость электронов). В области  $x \sim 1$  функции  $\psi(x, K)$  и  $f(x, K)$  практически совпадают. Но колебание типа АФ может испытывать в этой области только поглощение, так как фазовая скорость СВ оказывается очень большой  $v_\phi \sim v_F$ .

3. Оценим величину электронного поглощения СВ с частотой  $\omega \sim 10^{10}$  с<sup>-1</sup> и волно-

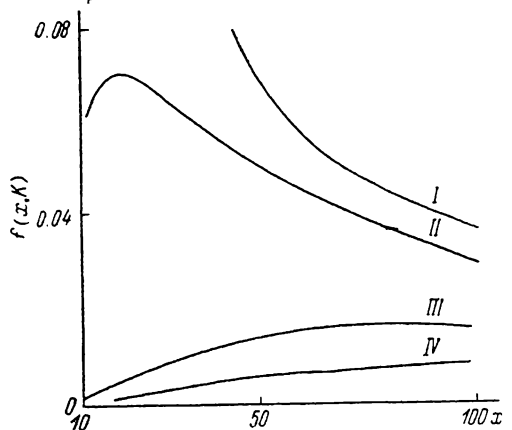


Рис. 2. Поглощение колебаний «антиферромагнитного» типа.

График функции  $f(x, K)$  при различных значениях параметра столкновений  $K$ :

I — 0, II — 10, III — 50, IV — 100.

вым числом  $q \sim 10^5$  см<sup>-1</sup> в уже упоминавшемся АФП MnTe при  $H_E \leq 10^5$  Э,  $M_0 \sim 10^2$  Гс,  $\mathcal{J}M_0/g\mu_0 \sim 1$  эВ. Подбирая изменением внешнего магнитного поля величину  $\Phi(H_0)$ , для колебаний Ф типа можно получить  $x \geq 1$ ,  $K \leq 1$ . Тогда  $\alpha_i^\Phi \sim 10^8$  с<sup>-1</sup>. Для колебаний АФ типа  $x$  и  $K$  не зависят от величины спинового расщепления и при тех же значениях параметров составляют  $x \sim 10^2$  и  $K \sim 10^2$ . То же справедливо и для колебаний Ф типа при  $\Phi(H_0) \equiv 0$ . Коэффициент электронного поглощения СВ при этом составляет  $\alpha_i^{A\Phi} \sim 10^7$  с<sup>-1</sup>. Сравним эти величины с величиной неэлектронных (магнитных) потерь в этом материале. Неэлектронное затухание СВ в АФП с анизотропией ЛП оценим по формуле [16]

$$\tilde{\alpha}_i^{\text{ЛП}} \simeq \omega_0 \frac{\hbar \omega_0}{K \Theta_N} \left( \frac{T}{\Theta_N} \right)^3 \quad (14)$$

а для АФП с анизотропией ЛО по формуле [10]

$$\tilde{\alpha}_i^{\text{ЛО}} = \frac{k \Theta_N}{\hbar} \left( \frac{T}{\Theta_N} \right)^2 \quad (15)$$

где  $\Theta_N$  — температура Нееля,  $k$  — константа Больцмана,  $T$  — температура. При  $T/\Theta_N \sim 10^{-1}$ ,  $\hbar \omega_0/k \Theta_N \sim 10^{-3}$  из (14) и (15) получаем ( $\Theta_N = 323$  К)  $\tilde{\alpha}_i^{\text{ЛП}} \sim 10^7$  с<sup>-1</sup>,  $\tilde{\alpha}_i^{\text{ЛО}} \sim 10^9$  с<sup>-1</sup>. Из приведенных оценок видно, что компенсация неэлектронных потерь дрейфовым усилением, т. е.  $\alpha_i + \tilde{\alpha}_i \leq 0$ , возможна для СВ выбранных частот только в АФП с анизотропией ЛП. При этом эффект сильнее проявляется для колебаний Ф типа.

Авторы благодарят Ю. В. Гуляева и П. Е. Зильбермана за внимание к работе и критические замечания, а также О. В. Бышевского за помощь при проведении численных расчетов на ЭВМ.

#### Л и т е р а т у р а

- [1] Вонсовский С. В., Илюмов Ю. А. УФН, 1962, т. 78, № 1, с. 3—52.
- [2] Бабушкин В. С., Самохвалов А. А., Морозова Н. А., Симонова М. И. ФТТ, 1983, т. 25, № 5, с. 1295—1298.
- [3] Зильберман П. Е., Кузнецов И. В., Меркулов А. И. Огрин Ю. Ф. ФТТ, 1983, т. 25, № 10, с. 3185—3187.

- [4] Лутовинов В. С., Рейзер М. Ю. ЖЭТФ, 1979, т. 77, № 2, с. 701—716.
- [5] Калашников В. П., Золотовицкий А. Б., Кожевников Н. В. ФММ, 1980, т. 50, № 5, с. 914—927, ФММ, 1981, т. 51, № 2, с. 231—242.
- [6] Гуляев О. В., Зильберман Н. Е., Ползикова Н. И., Раевс А. О. ФТТ, 1984, т. 26, № 9, с. 2686—2694.
- [7] Коренблит И. Я., Танхилевич Б. Г. ФТТ, 1973, т. 15, № 11, с. 3362—3370.
- [8] Басс Ф. Г., Олейник И. Н. ФТТ, 1977, № 7, т. 17, № 7, с. 2047—2057.
- [9] Гуляев Ю. В., Олейник И. Н., Шавров В. Г. ЖЭТФ, 1987, т. 92, № 4, с. 1357—1365.
- [10] Лахно В. Д. Препринт НЦ БИ АН СССР, Пущино, 1986. 34 с.
- [11] Гуревич А. Г. Магнитный резонанс в ферритах и антиферромагнетиках. М.: Наука, 1973. 592 с.
- [12] Цукерник В. М. ФТТ, 1968, т. 10, № 4, с. 1006—1011.
- [13] Турцов Е. А. В сб.: Ферромагнитный резонанс / Под ред. С. В. Вонсовского. М.: ГИФМЛ, 1961, с. 188—202.
- [14] Нагаев Э. Л. Физика магнитных полупроводников. М.: Наука, 1979. 431 с.
- [15] Ползикова Н. И., Раевский А. О. Препринт ИРЭ АН СССР № 21 (439), М., 1985, 16 с.; ФТТ, 1986, т. 28, № 2, с. 608—611.
- [16] Барьяхтар В. Г. Соболев В. Л. Квирикадзе А. Г. ЖЭТФ, 1973, т. 65, № 2, с. 790—805.

Институт радиотехники  
и электроники АН СССР  
Москва

Поступило в Редакцию  
11 августа 1987 г.